

## مطالعه تیمار روغن بزرگ در چوب کبوده (*Populus alba L.*)

به عنوان تیمار سنتی آثار تاریخی چوبی در برابر هوازدگی

### چکیده

بخش مهمی از آثار چوبی در فضای باز و در معرض هوازدگی قرار داردند. حفاظت از این آثار با توجه به ارزش‌های فرهنگی آن‌ها از اهمیت بالایی برخوردار است. پیشینه استفاده از روغن بزرگ به چند قرن گذشته بازمی‌گردد و امروزه نیز به شکل سنتی در سطح وسیعی جهت تیمار آثار چوبی در فضای باز به کار می‌رود؛ بنابراین، ویژگی‌های تیمار چوب کبوده (*Populus alba L.*) با روغن بزرگ تحت تأثیر هوازدگی مورد مطالعه قرار گرفت. جذب روغن در فرایند تیمار بررسی شد و میزان آبشویی آن با استفاده از استاندارد BS EN 1997:1997 اندازه‌گیری گردید. فرایند هوازدگی نیز با توجه به دستورالعمل 2565-99 ASTM انجام گرفت. نمونه‌ها پس از ۳۰۰ و ۸۰۰ ساعت هوازدگی از طریق رنگ سنجی، طیفسنجی FTIR و تصاویر SEM مورد مطالعه قرار گرفتند. نتایج نشان داد که نمونه‌های تیمار شده مقاومت خوبی در برابر آبشویی دارند ولی تیمار روغن بزرگ موجب تغییرات بصری زیادی در چوب می‌شود که این تغییرات در طول فرایند هوازدگی ادامه پیدا می‌کند. داده‌های طیفسنجی نیز گویای تخرب ساختاری نمونه‌های تیمار شده پس از هوازدگی بود به‌گونه‌ای که به شکل شکست و ایجاد ترک در ساختار سلولی در تصاویر میکروسکوپ الکترونی از سطح چوب دیده شد. به طور کلی، نتایج بر عدم عملکرد مناسب تیمار روغن بزرگ در شرایط مطالعه در این تحقیق، جهت حفاظت چوب در فضای باز تأکید داشت.

**واژگان کلیدی:** چوب، آثار تاریخی، حفاظت، هوازدگی، روغن بزرگ.

مخرب محیطی قرار دارند. هوازدگی از مهم‌ترین دلایل تخریب این آثار به شمار می‌رود [۱] و حفاظت چوب در برابر آن فرایندی قابل توجه است. روش‌ها و ترکیبات مختلفی تاکنون جهت حفاظت چوب به کار گرفته شده‌اند. روغن بزرگ یکی از موادی است که به طور سنتی در سطح گستره‌های جهت تیمار سطحی آثار چوبی در ایران،

### مقدمه

امروزه آثار چوبی بخش مهمی از میراث فرهنگی ملموس بشر را تشکیل می‌دهند. با توجه به ارزش‌های بالقوه و بالفعل این آثار، حفاظت از آن‌ها از اهمیت بالایی برخوردار است. بخش زیادی از آثار چوبی مربوط به ساختارهایی هستند که در فضای باز و در معرض عوامل

رطوبتی و تغییرات رنگی زیادی را در نمونه‌های تیمار شده با روغن بزرک گزارش کردند [۱۱]. روغن‌های طبیعی مانند روغن بزرک برای تیمار سطح آثار چوبی در برابر نور ماورا بنفس خورشید چندان مقاوم دانسته نشده است ولیکن پیش تیمار چوب با آن جهت آب گزین نمودن سطح و سپس پوشش دهی با رنگ‌های پایه روغنی نتایج رضایت بخشی در ترمیم چوب‌های شدیداً هوازده به همراه داشته است [۱۲]. صنوبرها *Populus sp.* جزء چوب‌های پرکاربرد در آثار تاریخی ایران هستند و مقاومت پایینی در برابر عوامل مخرب محیطی دارند [۱۳]. در پژوهش حاضر سعی شده است تأثیرات تیمار روغن بزرک در نمونه‌های چوب کبوده (*P. alba*) در برابر تأثیرات هوازدگی مورد مطالعه قرار گیرد تا امکان ارزیابی صحیحی از عملکرد این تیمار در آثار تاریخی میسر گردد.

## مواد و روش‌ها

گروههای نمونه‌های مورد ارزیابی در جدول ۱ نشان داده شده است. در این پژوهش نمونه‌ها از چوب کبوده (*Populus alba* L.) و فاقد عیب برش داده شدند. تمامی نمونه‌های مورد استفاده در آزمایش‌ها، با استفاده از ترازوی (Sartorius LA230 S) دیجیتال با دقت چهار رقم اعشار (Sartorius LA230 S) توزین گشته و وزن اولیه آن‌ها ثبت شد. سپس در دمای ۱۰۳±۲ درجه سانتی‌گراد در آون (OSK EEZ-14S) به مدت ۷۲ ساعت قرار داده شدند و پس از اطمینان از خشک شدن و ثبات وزنی (از طریق توزین‌های متوالی)، وزن خشک آن‌ها اندازه‌گیری شد. نمونه‌ها در دمای ۲۵ درجه سانتی‌گراد و ۶۵٪ رطوبت نسبی قرار داده شدند تا به تعادل برسند. سپس به روش آغشتگی و با استفاده از قلم مو با روغن بزرک خام، به روش سنتی و بهمانند فرایندهای سنتی حفاظتی تیمار شدند. بدین گونه که سه بار آغشتگی صورت گرفت و دیگر جذب سطحی مشاهده نگردید. این فرایند در تمامی نمونه‌ها به صورت یکسان انجام شد. روغن بزرک از کارگاه حفاظت و مرمت دانشگاه هنر اصفهان تهیه شد. این روغن به شیوه سنتی تهیه شده بود و در فرایندهای حفاظتی مورد استفاده قرار داشت. پس از تیمار، نمونه‌ها توزین شده و در آون در دمای ۱۰۳±۲ درجه سانتی‌گراد قرار داده شدند تا به ثبات وزنی برسند. سپس توزین شده و جذب خالص و ناخالص نمونه‌ها نیز محاسبه گردید.

خصوصاً اجزای چوبی مربوط به ساختارهای معماري استفاده می‌شود. Unger و همکاران (۲۰۰۱) گزارش‌های متعدد از قرن هجدهم میلادی به بعد در مورد استفاده از روغن بزرک در حفاظت آثار چوبی را لیست نمودند و جذب گردوغبار، عدم مقاومت مناسب در برابر حشرات و بعض افساد و ایجاد بوی نامطبوع (ترش) را به عنوان معایب تیمار با آن ذکر کردند [۲]. روغن بزرک از دانه‌های گیاه *Linum usitatissimum* استخراج می‌شود و ساختار آن به طور کلی شامل اسیدهای چرب اشباع پالمیتیک (C16, 6-7%) و استاریک (C18, 3-6%) و اسیدهای چرب غیراشباع اولئیک (C18, 14-24%) با یک پیوند دوگانه، لینولئیک (C18, 14-19%) با دو پیوند دوگانه و لینولنیک (C18, 48-60%) با سه پیوند دوگانه می‌شود [۳]. از قرن پانزدهم میلادی روغن بزرک کاربرد زیادی در جلاها و رنگ‌های پایه روغنی داشته است [۴]. از اواخر قرن شانزدهم میلادی تیمار چوب با روغن‌هایی مانند بزرک و گردو از اولین روش‌هایی بودند که برای حفاظت سطح چوب در مبلمان‌ها به کار گرفته شدند [۵]. استفاده از روغن بزرک در نقاشی روی درب‌های چوبی از دوره صفویه در ایران نیز معمول بوده است [۶]. تیمار با روغن بزرک و استفاده متوالی از واکس جهت بهبود ویژگی‌های سطحی کف‌پوش‌های چوبی در چند دهه قبل معمول بوده است [۷]. همچنین، Browne (۱۹۵۱) روغن بزرک را ساده‌ترین و قدیمی‌ترین روغن برای تیمار چوب در سطوح بیرونی ساخته‌مان دانست و لیکن آن را به تنها یک کافی تشخیص نداد [۸]. استفاده از روغن بزرک همراه با تیمار زاج در درمان اشیا باستان‌شناختی هرچند در زمان انجام فرایند رضایت‌بخش تشخیص داده شد ولی بعدها موجب آسیب در اشیا مورد درمان گردید [۹]. تیمار حرارتی چوب با روغن داغ نتایج مناسبی در فرایندهای صنعتی داشته است. مطالعات Bazyar و همکاران (۲۰۰۸) نشان داد که تیمار حرارتی چوب تبریزی با استفاده از روغن بزرک داغ موجب کاهش رطوبت و جذب آب چوب و بهبود ثبات ابعادی آن می‌گردد، هرچند تیره‌تر شدن چوب تبریزی را در پی داشت [۱۰]. ولیکن تیمار گرمایی ساختارهای چوبی تاریخی چندان عملی به نظر نمی‌رسد و ریسک بالایی را به همراه خواهد داشت. Temiz و همکاران (۲۰۰۷) پس از ۸۰۰ ساعت هوازدگی کاهش تأثیرات

$$\times 100 \times \frac{\text{وزن خشک اولیه} - \text{وزن تر تیمار}}{\text{وزن خشک اولیه}} = \% \text{ جذب ناخالص} \quad (1)$$

$$\times 100 \times \frac{\text{وزن خشک اولیه} - \text{وزن خشک تیمار}}{\text{وزن خشک اولیه}} = \% \text{ جذب خالص} \quad (2)$$

جدول ۱- آزمون‌های مورد انجام و گروه نمونه‌های مربوط به آن‌ها

آزمون	نرمال	فاقد مواد استخراجی	آبشویی	هوازدگی مصنوعی				شاهد تیمار شده	شاهد چوب
				۸۰۰ س	۳۰۰ س	۸۰۰ س	TB		
گروه	Ln	Lx	AW-1	AW-2	TB	WB			

خروج ترکیبات فنولیک، اسیدهای چرب، ترپین‌ها، فلاونوئیدها و فیتوستروول‌ها می‌شود [۱۷]. نمونه‌ها پس از تیمار و تعادل در شرایط کلیما (%۶۵ رطوبت نسبی و ۲۵ درجه سانتی‌گراد) همراه با پنج برابر حجم آب دیونیزه در ارلن خلاً قرار داده شدند و به مدت ۲۰ دقیقه تحت خلاً به میزان ۰/۰۴ بار قرار گرفتند. نمونه‌ها به مدت ۲ ساعت در آب باقیمانده و سپس آب تعویض گردید. در مدت چهارده روز، ده بار آب نمونه‌ها تعویض گشت. زمان تعویض آب نمونه‌ها شامل ۲، ۴۸، ۷۲، ۲۴، ۹۶ و سپس هر ۴۸ ساعت بود. پس از این مدت نمونه‌ها در آون خشک شده و وزن خشک آن‌ها ثبت گردید. میزان آبشویی با استفاده از رابطه زیر محاسبه گردید.

$$\times 100 \times \frac{\text{وزن خشک آبشویی شده} - \text{وزن خشک تیمار}}{\text{وزن خشک تیمار}} = \% \text{ آبشویی} \quad (3)$$

۳۰۰ تا ۴۰۰ نانومتر و ۸ دقیقه پاشش آب همزمان با تأثیر نور بود. با توجه به فضای محفظه، فرایند هوازدگی مصنوعی در چهار نمونه و در سطوح ۳۰۰ و ۸۰۰ ساعت اعمال شد و تغییرات، مورد ارزیابی قرار گرفت. پس از فرایند هوازدگی نمونه‌ها در آون خشک شده و توزین گشتنند. درصد کاهش جرم نمونه‌ها تحت تأثیر هوازدگی، با استفاده از رابطه زیر محاسبه شد.

جهت سنجش میزان آبشویی از استاندارد BS EN 84:1997 بهره گرفته شد [۱۴]. نمونه‌های به ابعاد ۶۰×۲۰ میلی‌متر در دو دسته (هر دسته شامل شش عدد نمونه) تهیه شدند. فقط یک دسته از این آزمونه‌ها با استفاده از استانداردهای TAPPI T207-OM88 [۱۵-۱۶] از مواد استخراجی عاری گردیدند. تا بتوان تأثیر مقدار مواد استخراجی در میزان آبشویی را مشاهده کرد. فرایند استخراج ابتدا به مدت ۷۲ ساعت و با استفاده از آب گرم انجام شد و سپس به مدت ۷۲ ساعت با استفاده از اتانول: پروپانون به نسبت یک به دو ادامه یافت. آب گرم موجب استخراج کربوهیدرات‌های با وزن مولکولی پایین و تانن‌ها گشته و اتانول: پروپانون باعث

آزمون هوازدگی با توجه به دستورالعمل ASTM 2565-99 انجام گردید [۱۸]. نمونه‌ها در ابعاد ۱۵۰×۷۵×۵ میلی‌متر تهیه و تیمار گشتند. پس از سنجش وزن خشک و کلیماتیزه کردن، نمونه‌ها در محیطی با دمای دیواره C ۵ ± ۶۰ و رطوبت نسبی ۵۰٪ قرار گرفتند. هوازدگی نمونه‌ها شامل ۱۰۲ دقیقه تابش نور با استفاده از لامپ OSRAM Powerstar HQI-BT 400w/d pro Xenon و Vilber-Lourmat T-15L UVa بین طول موج لامپ

$$\times 100 \times \frac{\text{وزن خشک پس از هوازدگی} - \text{وزن خشک قبل از هوازدگی}}{\text{وزن خشک قبل از هوازدگی}} = \% \text{ کاهش جرم} \quad (4)$$

کالیبره می‌گردید. شدت نوارهای جذبی از طریق محاسبه مساحت پیک با استفاده از نرمافزار OMNIC 6.1a شد. ساختارهای مربوط به ساختارهای چوب از طریق محاسبه نسبت‌های  $I_{1029}/I_{2925}$  به عنوان شاخص چوب،  $I_{1744}/I_{1507}/I_{896}$  به عنوان شاخص تغییرات لیگنین،  $I_{1507}/I_{1158}$  به عنوان شاخص کربونیل،  $I_{1420}/I_{896}$  به عنوان شاخص بلورینگی سلولز و  $I_{1263}/I_{1339}$  به عنوان نسبت گوایاسیل به سرینجیل در لیگنین [۲۰] مورد ارزیابی قرار گرفتند.

جهت ارزیابی سطح نمونه‌ها از میکروسکوپ الکترونی (Scanning Electron Microscope (SEM)) روبشی استفاده شد. نمونه‌های شاهد چوب و تیمار شده هوازده (۸۰۰ ساعت)، پس از پوشش دهنده با طلا، با استفاده از TESCAN میکروسکوپ الکترونی روبشی ساخت کمپانیجمهوری چک مدل VEGAII مورد مطالعه قرار گرفتند.

## نتایج و بحث

### تیمار و آبشویی

داده‌های مربوط به تیمار نمونه‌های آبشویی با روغن بزرگ در جدول ۲ ارائه شده است که نشان می‌دهد نمونه‌های فاقد مواد استخراجی جذب بیشتری نسبت به نمونه‌های حاوی مواد استخراجی دارند یعنی مواد استخراجی موجب کاهش جذب در نمونه‌های چوب شده است. هرچند تفاوت جذب در این نمونه‌ها خیلی زیاد نیست ولی با توجه به میزان کم مواد استخراجی در نمونه‌های موربدبررسی، این مسئله قابل توجه خواهد بود و می‌توان گفت که در تیمار چوب با روغن بزرگ یکی از عواملی که در میزان جذب مؤثر است میزان مواد استخراجی موجود در چوب خواهد بود. مقایسه تفاوت جذب خالص و ناخالص در دو دسته نمونه نشان می‌دهد که نمونه‌های بدون استخراج کاهش وزن بیشتری در طول خشک‌کردن پس از تیمار داشته‌اند که احتمالاً به دلیل میزان فراریت تیمار و مواد استخراجی است.

میزان آبشویی در هر دو دسته یکسان بود. درواقع حضور و یا فقدان مواد استخراجی تأثیری در مقدار آبشویی روغن بزرگ از چوب نداشت. همچنین میزان ماده آبشویی شده کم است که گویای این مطلب است که تأثیر آب موجب فروشست چندان زیادی در ماده تیمار نشده است. این مسئله با توجه به آب‌گریز بودن ساختار روغن بزرگ چندان عجیب

حفظ ویژگی‌های بصری اهمیت بالایی در فرایندهای حفاظتی و مرمتی دارد. به همین جهت برای سنجش تغییرات رنگی در نمونه‌های مورد مطالعه از دستگاه رنگ سنج ساخت شرکت Salutron کشور آلمان، مدل Colortector Alpha و سامانه رنگی CIE L\*a\*b\* استفاده شد. رنگ‌سنجی در هر نمونه پنج بار تکرار شد. تغییرات رنگی ایجاد شده در نمونه‌های مختلف نیز با استفاده از روابط زیر محاسبه شد.

$$\Delta L = L_2 - L_1 \quad (5)$$

$$\Delta b = b_2 - b_1 \quad (6)$$

$$\Delta a = a_2 - a_1 \quad (7)$$

$$\Delta E = (\Delta L^2 + \Delta b^2 + \Delta a^2)^{1/2} \quad (8)$$

مؤلفه  $L$  روشی/تیرگی را نشان می‌دهد که از صفر تا صد درجه‌بندی می‌شود. مقادیر مثبت  $\Delta L$  گویای افزایش روشی و مقادیر منفی نشان‌دهنده کاهش آن یا افزایش تیرگی است. مؤلفه  $b$  به میزان زردی/آبی است و مقادیر مثبت  $\Delta b$  افزایش زردی و مقادیر منفی کاهش آن یا افزایش آبی را نشان می‌دهد. مؤلفه  $a$  ناشی از میزان قرمز/سیبز است و مقادیر مثبت  $\Delta a$  نشان‌دهنده افزایش قرمزی و مقادیر منفی گویای کاهش آن یا افزایش سیبز است.  $\Delta E$  نیز تفاوت رنگی کلی را نشان می‌دهد [۱۹].

تحلیل داده‌ها با استفاده از نرم‌افزار SigmaPlot Version 12.3 Build 12.3.0.36 و درصد معنی‌دار بودن در سطح ۵ درصد تعیین گردید. طیف‌سنجی مادون‌قرمز تبدیل فوریه (Fourier Transform Infrared Spectroscopy (FTIR)) جهت مطالعه ساختاری، با استفاده از دستگاه Nicolet Nexus 470 FTIR Spectrometer مدل Thermo Nicolet آمریکا، متصل به نرم‌افزار PIKE MIRacle attenuated total reflectance (ATR) با سطح آنالیزور کریستال ZnSe و به روش انعکاس کل تضعیف شده، انجام گردید. نمونه‌ها در محدوده  $4000\text{ cm}^{-1}$  الی  $650\text{ cm}^{-1}$  مورد آنالیز قرار گرفتند؛ و طیف‌ها حاصل ۳۲ پیمایش با رزولوشن  $4\text{ cm}^{-1}$  بودند. پس از هر آنالیز، دستگاه با طیف‌ها به عنوان زمینه،

قابلیت خوبی برای ایجاد پیوند هیدروژنی با اجزای تشکیل دهنده چوب دارد و موجب کاهش جذب آب و نفوذ رطوبت و همچنین افزایش ثبات ابعادی چوب می‌شود که این امر از طریق ایجاد مانع بین آب و اجزای چوب و آب‌گیریز کردن الیاف صورت می‌گیرد [۲۳].

به نظر نمی‌رسد. بسیاری از روغن‌های گیاهی به عنوان ترکیبات دافع آب جهت محافظت چوب به کاربرده شده‌اند [۲۱]. مواد شیمیایی که توانایی ایجاد پیوند هیدروژنی دارند موجب دسترسی کمتر مولکول‌های آب به گروه‌های کربونیل و کربوکسیل اجزای شیمیایی چوب می‌شوند [۲۲]. روغن بزرک مولکول‌های بسیار بزرگ‌تری نسبت به آب داشته و

جدول ۲- میانگین داده‌های مربوط به میزان مواد استخراجی، جذب تیمار و آبشویی

گروه آزمون	مواد استخراجی (%)	جذب ناچالص (%)	جذب خالص (%)	Δ جذب (%)	آبشویی (%)
Ln	-	۲/۸۶	۲/۱۹	۰/۶۶	۰/۶۱
انحراف معیار	-	۰/۳۵	۰/۳۳	-	۰/۰۳
Lx	۱/۱۰	۳/۱۶	۲/۶۹	۰/۴۷	۰/۶۱
انحراف معیار	۰/۰۷	۰/۳۵	۰/۳۴	-	۰/۰۳

چوب شاهد و نمونه تیمار شده نیز بیشتر است. پس از ۸۰۰ ساعت هوازدگی نیز به روشنی نمونه‌ها اضافه شده ولی از قرمز و زردی آن‌ها کاسته شده است. تفاوت قرمزی در نمونه‌های هوازده چندان زیاد نیست. در مرحله اول هوازدگی (۳۰۰ ساعت) هرچند در ابتدا اکسیداسیون لیگنین موجب تشكیل اورتو و پاراکینون می‌شود ولیکن در ادامه، احیا شدن گروه‌های پاراکینون به هیدروکینونی کاهش زردی را در پی خواهد داشت [۲۴]. افزایش زردی در ادامه فرایند هوازدگی احتمالاً درنتیجه تشكیل ساختار کینوئید است. درواقع تخریب رادیکالی لیگنین موجب تشكیل کرموفورهای ثانویه می‌گردد. از آن جمله می‌توان به تشكیل رادیکال‌های متوكسی و درنتیجه گواپیاکوکسی اشاره کرد که به ساختار کینوئید تبدیل می‌شود و از عوامل اصلی زردشدگی به شمار می‌رود [۲۵]. به‌طورکلی تغییرات رنگی ناشی از هوازدگی نشان می‌دهد که تیمار روغن بزرک علاوه بر ایجاد تغییرات بصری در چوب، از تغییرات بصری ناشی از تأثیرات محیط جلوگیری نمی‌نماید.

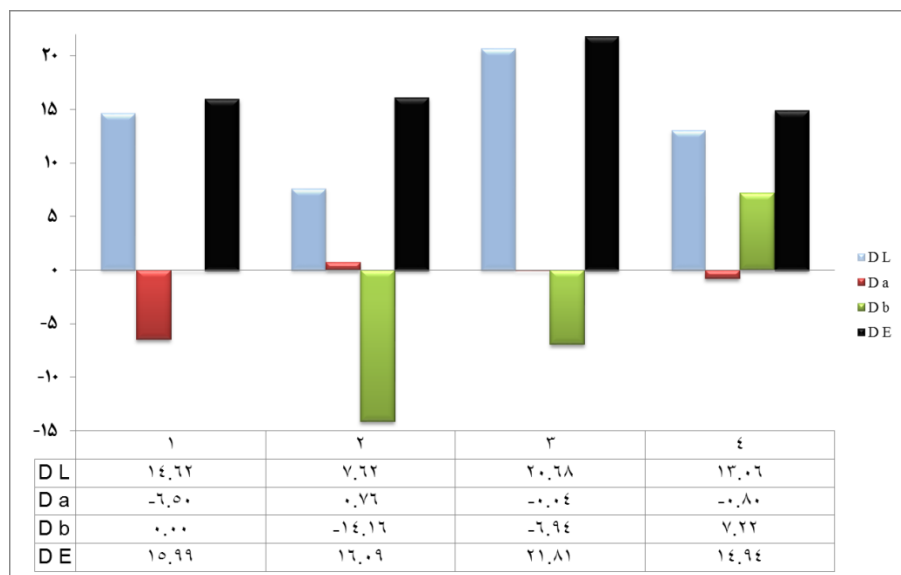
### رنگ‌سنجدی

فاکتورهای مؤثر در رنگ‌سنجدی شامل  $L^*$ ,  $a^*$  و  $b^*$  در نمونه‌های شاهد (بدون تیمار)، تیمار شده بدون هوازدگی و پس از ۳۰۰ و ۸۰۰ ساعت هوازدگی اندازه‌گیری شد (جدول ۳). اختلاف موجود در داده‌های به دست آمده نشان می‌دهد که تیمار چوب با روغن بزرک موجب افزایش روشنی در چوب شده است ولی به میزان قابل ملاحظه‌ای از قرمزی نمونه کاسته شده و سبزی آن بیشتر گردیده است. تغییری در زردی/آبی دیده نمی‌شود. به‌طورکلی، تیمار روغن بزرک موجب تغییرات رنگی ( $\Delta E$ ) می‌گردد که در زمینه حفاظت آثار تاریخی در خور تأمل است (شکل ۱).

پس از ۳۰۰ ساعت هوازدگی افزایش روشنی در نتایج مشهود است. به میزان ناچیزی به قرمزی نمونه‌ها افزوده شده ولی مقدار زیادی از زردی کاسته شده و به سمت آبی پیش رفته است. تفاوت رنگی بین نمونه بدون هوازدگی و پس از ۳۰۰ ساعت هوازدگی، از تفاوت بین

جدول ۳- داده‌های رنگ‌سنجدی در نمونه‌های مورد مطالعه

گروه	$L^*$	انحراف معیار	$a^*$	انحراف معیار	$b^*$	انحراف معیار
WB	۸۷/۵۴	۲/۱۸	۰/۴۰	۰/۰۴	۱۴/۵۰	۰/۶۶
TB	۷۲/۹۲	۳/۰۲	۶/۹۰	۱/۴۶	۱۴/۵۰	۰/۶۶
AW-1	۶۵/۳۰	۳/۸۲	۶/۱۴	۰/۸۱	۲۸/۶۶	۱/۷۹
AW-2	۵۲/۲۴	۴/۴۷	۶/۹۴	۰/۸۵	۲۱/۴۴	۲/۷۱

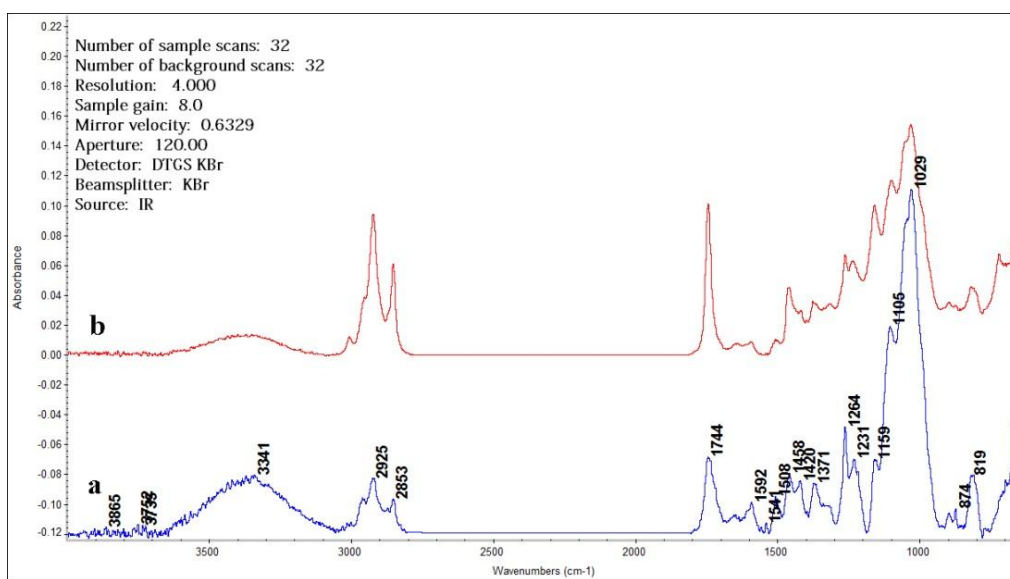


شکل ۱- اختلاف داده‌های رنگ‌سنجی بین نمونه‌های مورد مطالعه: WB و TB و AW-۱، (۲) AW-۲ و (۳) AW-۱، (۴) AW-۲

مربوطه برقرار است [۲۶]. نتایج مربوط به شاخص‌های مربوط به نمونه شاهد و تیمار شده در جدول ۴ ارائه شده است. اکثر شاخص‌ها پس از تیمار با روغن بزرک دچار افت شده‌اند. روغن بزرک هرچند در اکثر این نواحی جذبی نشان نمی‌دهد ولی اضافه شدن آن در سطح چوب موجب کاهش جذب در ساختارهای شیمیایی چوب گردیده است. البته شاخص کربونیل افزایش قابل توجهی دارد که درنتیجه جذب قابل توجه روغن بزرک در این ناحیه است.

### طیف‌سنجی FTIR

طیف‌های FTIR نمونه چوب شاهد و نمونه تیمار شده در شکل ۲ نشان داده شده است. حالت جذب IR جهت بررسی مقادیر ساختارهای تشکیل‌دهنده به کار گرفته شده است؛ زیرا بر اساس قانون بیر شدت هر نوار جذبی با مقدار مربوطه در نمونه مناسب است یعنی رابطه‌ای خطی بین شدت جذب و غلظت برقرار است که این رابطه خطی فقط در طیف‌های جذب به کار می‌رود در حالی که در حالت عبوری رابطه‌ای لگاریتمی بین شدت باند و غلظت ساختار



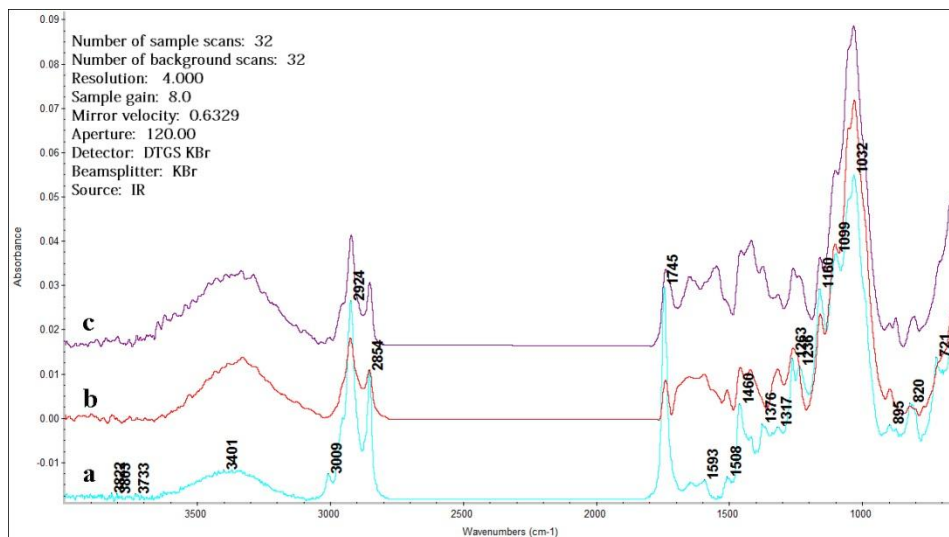
شکل ۲- طیف‌های FTIR نمونه چوب شاهد (a) و نمونه تیمار شده (b)

جدول ۴- شاخص‌های طیفی نمونه‌های شاهد و تیمار شده

I <sub>1420</sub> /I <sub>896</sub>	I <sub>1283</sub> /I <sub>1339</sub>	I <sub>1507</sub> /I <sub>896</sub>	I <sub>1744</sub> /I <sub>1158</sub>	I <sub>1029</sub> /I <sub>2925</sub>	نمونه
۱/۸۹۵	۲۶/۳۳۳	۱/۱۰۵	۲/۰۶۴	۲/۱۴۳	چوب شاهد
۱/۰۰۰	۱۶/۰۰۰	۰/۷۱۴	۳/۲۰۰	۰/۳۱۴	تیمار شده

باندهای ضعیف  $1317\text{cm}^{-1}$  و  $1397\text{cm}^{-1}$  نیز دیده می‌شود. این نوارهای جذبی متأثر از برهمکنش بین ارتعاش C-O کششی و ارتعاش C-O-H خمشی می‌باشند [۲۷]. طیف‌های FTIR نمونه‌های شاهد و هوازده در شکل ۳ نشان داده شده است. پس از هوازدگی اکثر نوارهای جذبی کاهش یافته‌اند. نوار جذبی  $896\text{cm}^{-1}$  مربوط به ارتعاش تغییر شکل C-H و ارتعاش کششی نامتقارن سلولز است [۲۸]. پیک  $1029\text{cm}^{-1}$  ناشی از ارتعاش کششی متقارن O-C در سلولز و همی‌سلولزها [۲۰] و ارتعاش تغییر شکل درون سفحفه‌ای C-H آروماتیک شکل گرفته است. ارتعاش کششی نامتقارن پل C-O-C در سلولز و همی‌سلولزها در  $1158\text{cm}^{-1}$  دیده می‌شود. جذب در این ناحیه مربوط به سلولز آمورف دانسته شده است [۲۹].

روغن بزرک از چندین اسید چرب بلند زنجیر اشباع و غیراشباع تشکیل شده است [۳]. ارتعاشات کششی دیمر اسیدهای کربوکسیلیک معمولاً در  $1730\text{cm}^{-1}$  آشکار می‌گردد اما در اسیدهای آلیفاتیک اشباع در  $1760\text{cm}^{-1}$  دیده می‌شود که پیوند هیدروژنی موجب کاهش فرکانس جذب می‌گردد [۲۷]. قابلیت بالای اجزای شیمیایی چوب و مخلوط اسیدهای کربوکسیلیک اشباع و غیراشباع در روغن بزرک جهت ایجاد پیوند هیدروژنی احتمالاً باعث کاهش فرکانس جذب تا  $1744\text{cm}^{-1}$  در گردیده است. به همین دلیل ارتعاش کششی C=O در روغن بزرک معمولاً بین  $1730\text{cm}^{-1}$ - $1750\text{cm}^{-1}$  آشکار می‌شود [۲۶]. جذب C-H کششی مربوط به اسیدهای کربوکسیلیک در  $2855\text{cm}^{-1}$ - $2950\text{cm}^{-1}$  موجب تشدید نوارهای جذبی این محدوده شده است که این امر در



شکل ۳- طیف‌های FTIR نمونه شاهد تیمار (a)، هوازده ۳۰۰ ساعت (b) و هوازده ۸۰۰ ساعت (c)

جدول ۵- شاخص‌های طیفی نمونه‌های هوازده پس از ۳۰۰ و ۸۰۰ ساعت هوازدگی

I <sub>1420</sub> /I <sub>896</sub>	I <sub>1283</sub> /I <sub>1339</sub>	I <sub>1507</sub> /I <sub>896</sub>	I <sub>1744</sub> /I <sub>1158</sub>	I <sub>1029</sub> /I <sub>2925</sub>	نمونه
۰/۵۱۷	۵/۲۳۱	۰/۸۲۷	۰/۳۶۱	۱/۱۵	۳۰۰ ساعت هوازدگی
۰/۵۰۰	۴/۱۹۰	۰/۴۶۰	۰/۱۵۸	۰/۸۲۳	۸۰۰ ساعت هوازدگی

کمتر شیفت پیدا می کند که این امر به دلیل شکست و یا تشکیل پیوند هیدروژنی  $\text{H}-\text{C}=\text{O}$ .....[۳۰]. هرچند پیدایش شانه پیک در ۱۷۲۳ در نمونه های هوازده مشاهده می شود اما فرایند هوازدگی و ادامه آن کاهش شاخص کربونیل را در پی داشته است زیرا در تحقیقاتی که بر افزایش جذب کربونیل تأکید داشته اند، تخریب چوب را تنها تحت تأثیر نور بررسی نموده اند ولی کاهش جذب کربونیل در طیف های مورد مطالعه نشانگر فروشست ساختاری تحت تأثیر پاشش آب است. تخریب پیوند فتوشیمیایی موجب شکست پیوند  $\text{C}=\text{C}$  در مجاورت گروه های کربونیل می گردد و محصولات این تخریب وزن مولکولی پایینی داشته و در آب محلول اند و به راحتی می توانند آب شویی شوند [۲۹]. داده های مربوط به میزان کاهش جرم نمونه ها پس از هوازدگی (جدول ۶)، کم شدن اجزای تشکیل دهنده چوب پس از هوازدگی را تأیید می کند. در واقع کاهش در حدود یک و نیم درصد وزنی نمونه در اثر هوازدگی که فرایندی سطحی است قابل توجه خواهد بود.

جدول ۶- میزان کاهش جرم در نمونه های هوازده

نمونه	درصد کاهش جرم
هوازدگی ۳۰۰ ساعت	۰/۲۸
هوازدگی ۸۰۰ ساعت	۱/۴۲

شاخص تغییرات لیگنین نیز در طول فرایند هوازدگی دچار کاهش شده است. به طور کلی تأثیر هوازدگی موجب تخریب شدید لیگنین و کاهش جذب آن در ۱۵۰۷ می گردد [۳۳]. هرچند کاهش جذب در ۸۹۶ گویای تخریب پلی ساکاریدها در نمونه هوازده است ولیکن سرعت بالاتر تخریب لیگنین موجب کاهش این شاخص می گردد چراکه تحت تأثیر نور مaura بنفسن، لیگنین سریع تر دچار تخریب می شود و از طرفی با کاهش جذب ۱۵۰۷ در طول هوازدگی، جذب در ۱۶۴۸ افزایش یافته است؛ زیرا شدت این دو نوار جذبی با هم نسبت دارد و تخریب لیگنین موجب ایجاد گروه های کربونیل ساختاری جدید می شود [۳۴]. بعلاوه، تأثیر هوازدگی باعث رشد جذب در ۱۵۵۹ و ۱۵۹۲ ناشی از اتصال های غیر اشتعاب  $\text{C}=\text{C}$  در حلقه آromatik لیگنین و ۱۶۴۸ ناشی از ارتعاشات کششی

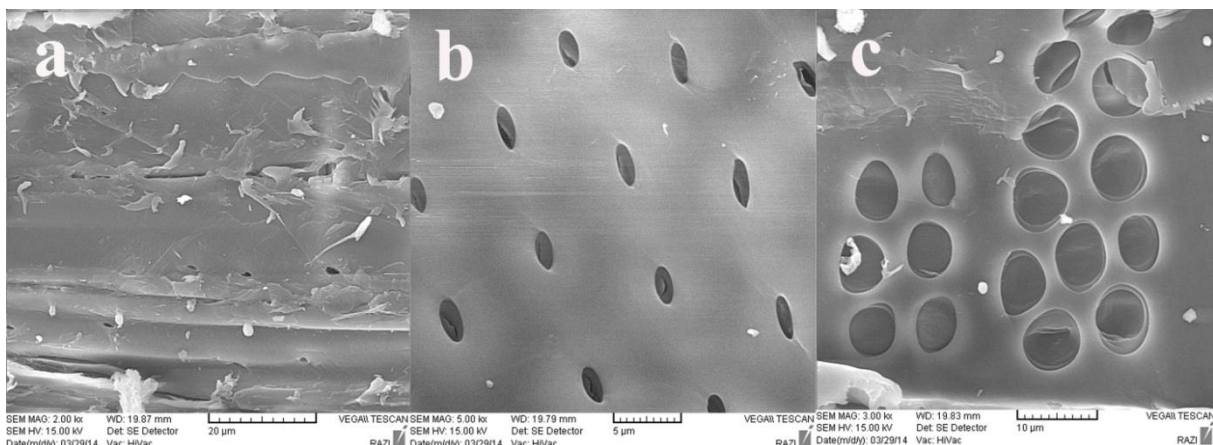
باند  $1263 \text{ cm}^{-1}$  مربوط به ارتعاش کششی  $\text{C}-\text{O}$  و حلقه گواهی اسیل در لیگنین و جذب  $1339 \text{ cm}^{-1}$  ناشی از ارتعاش کششی  $\text{C}-\text{O}$  در حلقه سرینجیل است [۲۰]. ارتعاش تغییر شکل  $\text{C}-\text{H}$  درون صفحه ای سلولز نیز در  $1420 \text{ cm}^{-1}$  آشکار شده است [۳۰]. نوار جذبی  $1507 \text{ cm}^{-1}$  به عنوان شاخص لیگنین، ناشی از ارتعاش کششی  $\text{C}=\text{C}$  در ساختار آروماتیک حلقه بنزن در لیگنین در طیف ها دیده می شود. پیک  $1744 \text{ cm}^{-1}$  ناشی از ارتعاش کششی  $\text{C}=\text{O}$  گروه استیل و گروه کربوکسیلیک غیر مزدوج و استرهای آن (در زایلان) و همچنین ارتعاش کششی کربونیل در کتون های غیر مزدوج و آلدیدهای آزاد موجود در لیگنین دانسته شده و به عنوان شاخص جهت سنجش گروه های کربونیل به کار می رود [۲۹]. جذب در  $2850-2960 \text{ cm}^{-1}$  نیز به ارتعاشات کششی  $\text{CH}_2$  و  $\text{C}-\text{H}$  در گروه های متیل و متیلن تعیین گردیده است [۲۰]. نتایج اندازه گیری شاخص های مربوط به نمونه های هوازده در جدول ۵ نشان داده شده است. شاخص چوب در نمونه های هوازده نسبت به نمونه شاهد کاهش قابل ملاحظه ای داشته است زیرا جذب در ۱۰۲۹ در طول هوازدگی کاهش یافته است در حالی که جذب ۱۰۲۹ تغییر زیادی نکرده است. کاهش جذب در نشان دهنده کاهش پلی ساکاریدها و ترکیبات آروماتیک در سطح چوب است. تأثیری که روغن بزرگ در کاهش جذب اجزای شیمیایی چوب داشت در نمونه های هوازده دیده نمی شود. این مسئله احتمالاً به دلیل تخریب ساختاری روغن بزرگ و فروشست آن از سطح چوب در فرایند هوازدگی است. کاهش میزان جذب نوار ۱۷۴۴ و ۱۳۱۷ و همچنین عدم وجود جذب در نمونه های هوازده این امر را تأیید می کند. شاخص کربونیل در چوب نیز در طول فرایند هوازدگی کاهش یافته است. تأثیر نور مaura بنفسن موجب تخریب ساختاری پلی ساکاریدها و باز شدن حلقه لیگنین از طریق مکانیسم جدا شیمی موکونیک اسید (که از طریق کربوکسیلیک اسیدها و یا لاکتون های آن ها قبلاً شکل گرفته اند) می گردد [۳۱] که این امر تولید گروه های جدید کربونیل را به همراه خواهد داشت و درنتیجه افزایش قابل توجه جذب کربونیل در طول تابش را به همراه خواهد داشت [۳۲]. در واقع جذب ارتعاش کششی  $\text{C}=\text{O}$  در طول تابش به آرامی پهن تر شده و به اعداد موجی

موجب تشکیل رادیکال‌های آلوکوکسی در موقعیت‌های C<sub>1</sub> و C<sub>4</sub> در زمان جذب انرژی تابش توسط باندهای گلیکوزیدی می‌شود ولی پس از مدتی این شاخص تقریباً ثابت می‌ماند لیگنین و محصولات تخریب آن باعث حفاظت سلولز در برابر تخریب نوری می‌شوند. انرژی باقی‌مانده در سلولز به جای اینکه پراکنده شود می‌توانند در یک گروه داخلی اصلی مانند یک گروه آروماتیک در لیگنین متتمرکز شود [۳۶]. به طور کلی نتایج طیفسنجی نشان می‌دهد که سطح نمونه‌های تیمار شده با روغن بزرک تحت تأثیر فرایند هوازدگی دچار تغییرات ساختاری جدی در اجزای اصلی تشکیل‌دهنده ساختار چوب شده است و تیمار چوب با روغن بزرک عمل حفاظتی چندانی در فضای بازندارد.

#### بررسی تصاویر میکروسکوپ الکترونی

بررسی ریخت‌شناسی سطح در نمونه‌های شاهد چوب و تیمار شده هوازده (۸۰۰ ساعت)، انجام گرفت. در نمونه شاهد الیاف چوب در کنار یکدیگر قرار داشته و هیچ تخریب اساسی، شکست و یا جدایش را نشان نمی‌دهد (شکل ۴-a) و بافت فیبر از نظر فیزیکی در وضعیت سالمی قرار دارد. منافذ هاله‌ای در سطح دیده می‌شود (شکل ۴-b). منافذ بین آوند-پارانشیم نیز مدور، درشت و به شکل متناوب آرایش یافته‌اند (شکل ۴-c). منافذ کاملاً سالم‌اند و شکست و یا ترکی در آن‌ها دیده نمی‌شود. در نمونه‌های شاهد الیاف سطح چوب سالم و یکپارچه آرایش یافته‌اند. این امر نشان دهنده عدم تخریب سلولز و لیگنین در دیواره سلولی و لیگنین در دیواره بین سلولی است.

C=O مزدوج همراه با یک حلقه آروماتیک [۳۵] گردیده است. همچنین نوار جذبی ۱۶۵۲ ناشی از ارتعاش کششی C=O در کتون‌های مزدوج آروماتیک یا کربونیل مزدوج (آریل کتون) [۲۰]، پس از ۸۰۰ ساعت هوازدگی در طیف نمونه دیده می‌شود. تشکیل و یا تشدید این نوارهای جذبی درنتیجه تشکیل ساختار کینوئید که حاوی گروه‌های C=O جدید هستند رخ می‌دهد [۳۶]. از طرف دیگر نسبت واحد گوایاپسیل به واحد سرینجیل نیز در نمونه‌های هوازده کاهش قابل توجهی را نشان می‌دهد. این مسئله گویای تخریب شدیدتر واحد گوایاپسیل در لیگنین است. به طور کلی گوایاپسیل در مقایسه با سرینجیل به دلیل تفاوت ساختاری نسبت به تخریب نوری حساس‌تر است زیرا فقط یک گروه متوكسی متأ در مجاور گروه هیدروکسیل فنولیک در واحد گوایاپسیل وجود دارد در حالی که واحد سرینجیل دارای دو گروه متوكسی در مجاورت گروه هیدروکسیل فنولیک است [۲۰]. این موارد نتایج رنگ سنجی مربوط به افزایش زردی نمونه پس از ۸۰۰ ساعت هوازدگی تحت مکانیسم تخریب رادیکالی لیگنین و تشکیل رادیکال گوایاکوکسی و تبدیل آن به کینوئید تأیید می‌کند. پس از ۳۰۰ ساعت هوازدگی افت زیادی در شاخص بلورینگی سلولز دیده می‌شود ولی با ادامه فرایند هوازدگی تغییر چندانی در این شاخص مشاهده نمی‌گردد. به نظر می‌رسد که در مرحله اول هوازدگی سلولز دچار تخریب گردیده است اما سرعت تخریب در مرحله دوم به میزان بسیار کمی تنزل یافته است. کاهش اولیه در شاخص بلورینگی سلولز در فرایند هوازدگی به دلیل شکست زنجیره پلی‌ساقاریدهاست که

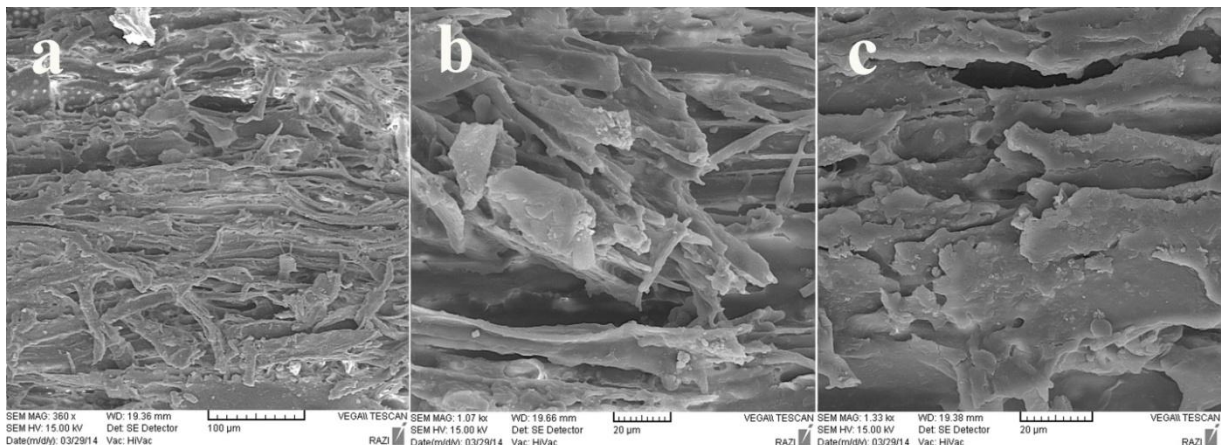


شکل ۴- سطح چوب کبوده در نمونه شاهد بدون هوازدگی: فیبرهای سطح (a)، منافذ بین آوند-پارانشیم (b) و منافذ بین آوند-پارانشیم (c)

موجود در سطح و همچنین شکست طولی الیاف گویای شکست زنجیر سلولزی است. الیاف کوتاه و به صورت شکسته دیده می‌شود. همچنین شکست‌های زیادی در ریزساختار الیاف سطح نمونه مشاهده می‌گردد (شکل ۵). این مسئله اکسیداسیون سلولز و ایجاد محصولات با وزن مولکولی پایین‌تر را تأیید می‌کند که در ادامه فرایند تحت تأثیر آب دچار فروشست می‌شوند. البته جدایش الیاف سطح نمونه نسبت به شکست‌های طولی الیاف شدیدتر است. این مسئله تخریب بیشتر و سریع‌تر لیگنین را نسبت به سلولز نشان می‌دهد که تأییدکننده نتایج مربوط به طیف‌سنگی است.

به طور کلی، بررسی میکروسکوپی در این تحقیق نشان می‌دهد که تیمار روغن بزرک از تغییرات ریخت‌شناسی چوب تحت تأثیر هوازدگی، جلوگیری نکرده است و کارایی مناسبی جهت حفاظت چوب در برابر هوازدگی در فضای بازنگشتن نمی‌دهد.

در نمونه تیمار شده، بررسی سطح پس از هوازدگی، جدایش و به هم‌ریختگی آرایش الیاف مشهود است. الیاف کوتاه و به صورت شکسته دیده می‌شود. همچنین شکست‌های زیادی در ریزساختار سطح نمونه مشاهده می‌گردد. شکاف‌های بین الیاف و در راستای طولی، تخریب لیگنین را تأیید می‌کند چراکه لیگنین به عنوان عامل چسباننده الیاف سلولزی در ساختار چوبی عمل می‌کند و بیشتر در دیواره بین سلولی متمرکز است. تخریب لیگنین ابتدا موجب افت یکپارچگی الیاف در کنار یکدیگر شده و پس از فروشست محصولات تخریب آن الیاف به شدت دچار جدایش شده‌اند که این امر به هم‌ریختگی الیاف را در پی داشته است (شکل ۵-a). شکست طولی الیاف نیز گویای تخریب سلولز است. از آنجایی که سلولز بیشتر در دیواره سلولی متمرکز است درنتیجه، تخریب ساختاری آن شکست طولی الیاف سطحی را به دنبال داشته است (شکل ۵-b). ترک‌های



شکل ۵- تخریب نمونه تیمار شده پس از هوازدگی؛ جدایش و به هم‌ریختگی الیاف (a)، شکست‌های طولی الیاف (b)، شکست‌های موجود در سطح الیاف (c)

آن نسبت داد. نتایج نشان می‌دهند که مواد استخراجی نمونه‌ها تأثیر قابل توجهی در میزان آبشویی ماده تیمار ندارد. رنگ‌سنگی نمونه‌ها نشان گرفتاریش روشنی نمونه‌ها پس از تیمار و پس از هوازدگی بود. تیمار روغن بزرک موجب کاهش قابل توجه قرمزی گردید ولی تغییری در میزان زردی نمونه‌ها نشان نداد. پس از ۳۰۰ ساعت هوازدگی به دلیل احیای گروه‌های پاراکینون به

### نتیجه‌گیری

نتایج حاصل نشان دهنده‌ی میزان ۱/۰۹۶۷ درصد مواد استخراجی در نمونه‌های چوب *P. alba* بود. وجود این مقدار ماده استخراجی موجب کاهش در حدود ۰/۵ درصدی در میزان جذب روغن بزرک در فرآیند تیمار بود. به علاوه تیمار روغن بزرک تحت آبشویی دچار فروشست چندانی نگردید که این امر را می‌توان به ساختار آب‌گریز

منافذ آوندی در سطح نمونه‌ها دیده می‌شود ولی تخریب شدیدتر مربوط به جدایش الیاف است که در اثر تخریب شدید لیگنین در دیواره بین‌سلولی رخداده است. به طور کلی تیمار روغن بزرک هرچند مقاومت خوبی در برابر آبشویی از خود نشان داد ولیکن با توجه به تغییرات بصری زیاد و عدم جلوگیری از تأثیرات هوازدگی در ساختار شیمیایی و ویژگی‌های ریخت‌شناسی سطح فاقد ویژگی‌های لازم جهت استفاده در حفاظت جهت تیمار آثار چوبی در فضای باز است.

### سپاسگزاری

نگارندگان لازم می‌دانند از دانشجویان دانشکده مرمت دانشگاه هنر اصفهان آقایان علیرضا کوچکزایی، دانیال هرنده، بهروز قجر و آرمان رزم جهت همکاری در آماده‌سازی نمونه‌ها و فرایندهای آزمایشگاهی تشکر و قدردانی نمایند.

هیدروکینون به میزان زیادی از زردی نمونه‌ها کاسته شد ولی با افزایش هوازدگی تا ۸۰۰ ساعت زردی نمونه‌ها افزایش یافت که نتایج طیفسنجی FTIR مؤید تشکیل گروه‌های کینوئید در سطح است. ولیکن به طور کلی تیمار روغن بزرک باعث تغییرات بصری قابل‌توجهی در نمونه‌های چوب گردید که این تغییرات بصری در طول هوازدگی نیز ادامه یافت. طیف‌های FTIR نمونه‌های موردمطالعه نشان گر تخریب پلی‌ساقاریدها و لیگنین و فروشست محصولات تخریب از سطح نمونه‌ها بود به‌گونه‌ای که در نمونه‌های هوازدگی نسبت به نمونه‌ی شاهد تقریباً به نصف کاهش یافت. لیگنین سریع تر از سلولز تخریب گردید که در این میان لیگنین گوایاسیل نسبت به سرینجیل کاهش بیشتری نشان داد. بلورینگی سلولز نیز هرچند در مرحله اول هوازدگی کاهش چشم گیری داشت ولیکن با ادامه هوازدگی تغییر چندان زیادی نداشت که این امر مربوط به عملکرد حفاظتی لیگنین و محصولات تخریب آن است. تخریب پلی‌ساقاریدهای چوب پس از هوازدگی به صورت ترک در الیاف و شکست در

### مراجع

- [1] Feist, W.C., 1990. Outdoor wood weathering and protection. In: Archaeological wood: properties, chemistry, and preservation. American Chemical Society, Washington DC, p 263–298.
- [2] Unger, A., Schniewind, A. P., and Unger, W., 2001. Conservation of Wood Artifacts: A Handbook, Springer, Berlin, 165, 363, 381-383 pp.
- [3] Juita, A., Dlugogorski, B.Z., Kennedy E.M. and Mackie J.C., 2012. Low temperature oxidation of linseed oil: a review. Fire Science Reviews, 1(3): 1-36.
- [4] Lazzari, M. and Chiantore, O., 1999. Drying and oxidative degradation of linseed oil. Polymer Degradation and Stability, 65: 303–313.
- [5] Rivers, S. and Umney, N., 2003. Conservation of furniture, Butterworth-Heinemann, Oxford, 12 p.
- [6] Alizadeh, S., 2012. Survey on ways of Painting Development in the First Part of Qajar Period. Journal of Faculty of Art, Shahed University, 22: 72-83. (In Persian).
- [7] Browne, F. L., 1953. Finishing of wood floors. U.S Forest Service Res. Rept. No. 1962, Madison, WI. 190p.
- [8] Browne, F. L. 1951. Natural wood finishes for exteriors of houses. U.S Forest Service Res. Rept. No. 1908, Madison, WI.
- [9] Haggstrom, C. and Sandstrom T., 2013. Alum-treated archaeological wood Characterization and re-conservation, Swedish National Heritage Board, Stockholm, 6-10 pp.

- [10] Bazyar, B., Parsapajouh D., Khademi-Eslam, H. and Hemmasi, A-H., 2008. Physical characteristics of poplar wood treated with hot linseed oil. *Journal of Agricultural Sciences*, 13 (1): 197-206. (In Persian)
- [11] Temiz, A., Terziev N., Eikenes M. and Hafren J., 2007. Effect of accelerated weathering on surface chemistry of modified wood. *Applied Surface Science*, 253: 5355–5362.
- [12] Williams, R. S. and Knaebe M. T., 2000. Restoration of Severely Weathered Wood. *Journal of Coatings Technology*, 72(902): 43-51.
- [13] Mohammadi Achachluei M., Ahmadi H. and Pourtahmasi K., 2014. Patination of Wood with Diethanolamine: Characteristics and its Resistance against Weathering. *Journal of Color Science and Technology*, 8: 237-248. (In Persian).
- [14] Wood preservatives: Accelerated ageing of treated wood prior to biological testing, Leaching procedure. British-Adopted European Standard, BS EN 84-97, 2002.
- [15] Solvent extractives of wood and pulp. TAPPI (US technical association of pulp and paper industry), TAPPI T204 om-88, 1988.
- [16] Water solubility of wood and pulp. TAPPI (US technical association of pulp and paper industry), TAPPI T207 om-88, 1988.
- [17] Ajuong, E.M.A. and Breese M. C., 1997. The Role of Extractives on Short-Term Creep In Compression Parallel To The Grain of Pai Wood (*Afzelia Africana Smith*). *Wood and Fiber Science*, 29(2):161–170.
- [18] Standard Practice for Xenon-Arc Exposure of Plastics Intended for Outdoor Applications. Annual Book of ASTM Standard, 08.01, D2565-99, 2008.
- [19] Johnston-Feller, R., 2001. Color science in the examination of museum objects: nondestructive Procedures, Getty, Los Angeles, 34-36 pp.
- [20] Chang, H.T., Yeh T.F. and Chang S.T., 2002. Comparisons of chemical characteristic variations for photodegraded softwood and hardwood with/without polyurethane clear coatings. *Polymer Degradation and Stability*, 77: 129–135.
- [21] Panov, D., Terziev N., Daniel G., 2010. Using plant oils as hydrophobic substances for wood protection. The International Research Group on Wood Protection, IRG/WP 10-30550.
- [22] Schneider, M. H., 1980. Hygroscopicity of Wood Impregnated with Linseed Oil. *Wood Science and Technology*, 14: 107-114.
- [23] Humar, M. and Lesar, B., 2013. Efficacy of linseed- and tung-oil-treated wood against wood-decay fungi and water uptake. *International Biodeterioration & Biodegradation*, 85: 223-227.
- [24] Darabi, P., Abdolzadeh, H., karimi, A.N., Mirshokraie, A. and Doosthoseini, K., 2010. The Investigation of Acetylation and Anti-Oxidant Effect on Weathering of wood Plastic Composites By Means of FTIR and Color Metry (Color measurement). *Iranian Journal of Wood and Paper Science Research*, 25 (1): 70-79. (In Persian)
- [25] Hon, D.N.S., 2001. Weathering and Photochemistry of Wood. In: *Wood and cellulosic chemistry*, 2nd ed., Marcel Dekker, New York, 513-546 pp.
- [26] Derrick, M. R., Stulik, D. and Landry, J.M., 1999. Infrared spectroscopy in conservation science. Getty, Los Angeles, 85, 185 pp.
- [27] Pavia, D.L., Lampman, G.M., Kriz, G.S., and Vyvyan J.R., 2008. *Introduction to Spectroscopy*, 4<sup>th</sup> Ed., Cengage Learning, Belmont, 62-64 pp.

- [28] Colom, X., Carrillo, F., Nogues, F. and Garriga, P., 2003. Structural analysis of photodegraded wood by means of FTIR spectroscopy. *Polymer Degradation and Stability*, 80: 543–549.
- [29] Yamauchi, S., Sudiyani Y., Imamura, Y. and Doi, S., 2004. Depth profiling of weathered tropical wood using Fourier transform infrared photoacoustic spectroscopy. *Journal of Wood Science*, 50: 433–438.
- [30] Sudiyani, Y., Imamura, Y., Doi, S. and Yamauchi, S., 2003. Infrared spectroscopic investigations of weathering effects on the surface of tropical wood. *Journal of Wood Science*, 49: 86–92.
- [31] Tolvaj, L. and Faix, O., 1995. Artificial ageing of wood monitored by DRIFT spectroscopy and CIE  $L^*a^*b^*$  color measurements. 1. Effect of UV light. *Holzforschung*, 49: 397–404.
- [32] Anderson, L.E., Pawlak, Z., Owen, N. and Feist, W.C., 1991. Infrared Studies of Wood Weathering. Part II: Hardwoods. *Applied Spectroscopy*, 45 (4): 648-652.
- [33] Muller, U., Rätzsch, M., Schwanninger, M., Steiner M. and Zobl, H., 2003. Yellowing and IR changes of spruce wood as result of UV-irradiation. *Journal of Photochemistry and Photobiology B: Biology*, 69: 97–105.
- [34] Rosu, D., Carmen-Alice, T., Bodirlau, R. and Rosu, L., 2010. FTIR and color change of the modified wood as a result of artificial light irradiation. *Journal of Photochemistry and Photobiology B: Biology*, 99: 144–149.
- [35] Bjarnestad S. and Dahlman O., 2002. Chemical compositions of hardwood and softwood pulps employing photoacoustic Fourier Transform infrared spectroscopy in combination with partial least-squares analysis. *Analytical Chemistry*, 74: 5851–5858.
- [36] Hon, D.N.S., 1991. Photochemistry of wood. In: *Wood and cellulosic chemistry*. Marcel Dekker, New York, 525–555 pp.

## Study of linseed oil on white poplar wood (*Populus alba* L.) as a traditional treatment for historical wooden relics against weathering

### Abstract

Large part of wooden relics is located in open air spaces under weathering exposure. Conservation of the relics has a great importance due to their cultural values. Application of linseed oil in conservation backs to centuries ago. Today, it is used as a traditional treatment of wooden relics extensively. Regarding to importance of historical wooden relics, there is a need for detail study of traditional treatments. Therefore, conservative properties of linseed oil treatment on white poplar wood (*Populus alba* L.) was studied under weathering exposure. Firstly, linseed oil absorption of the wood samples was measured and its leaching was evaluated according to BS EN 84:1997. Treated wood samples were artificially weathered regarding to ASTM 2565-99. After 300 and 800 hours weathering, samples were analyzed by Colorimeter, FTIR spectroscopy and Scanning electron microscopy. Results showed that linseed oil treatment has a good resistance against leaching but causes to serious aesthetical changes which were continued during weathering process. FTIR data were indicated structural degradation of treated samples after weathering. The degradation was clarified as rupture and cracks of cell walls and vessel pits in SEM images of wood surface. Results signified inappropriate effects of linseed oil for conservation of wood in open air spaces.

**Keywords:** wood, historical relics, conservation, weathering, linseed oil.

M. Mohammadi Achachluei <sup>1\*</sup>

H. Ahmadi <sup>2</sup>

K. Pourtahmasi <sup>3</sup>

<sup>1</sup>PhD student, <sup>2</sup>Assistant Professor, Conservation faculty, Art University of Isfahan, Isfahan, Iran

<sup>3</sup>Associate Professor, Department of Wood & Paper Science and Technology, Faculty of Natural Resources, University of Tehran, Karaj, Iran

Corresponding author:  
mohsen.mohammadi@aui.ac.ir

Received: 2013.06.21

Accepted: 2014.11.29